

ИССЛЕДОВАНИЕ МЕТОДОМ ЭПР ИОНОВ МЕДИ В КРИСТАЛЛЕ BaF_2

M. M. Зарипов, B. A. Уланов

Исследование двухвалентной меди в кристаллах структурного типа флюорита CdF_2 и CaF_2 [1] показало, что ион Cu^{2+} (электронная конфигурация $3d^9$) занимает позицию катиона решетки и находится в электрическом поле лигандов симметрии D_{2h} . Предполагаемая причина искажения кубической конфигурации координационного многогранника замещенного катиона — эффект Яна—Теллера. В отличие от этого в изоструктурном флюорите кристалле SrCl_2 [2] примесный ион Cu^{2+} смещается из позиции замещенного Sr^{2+} в нецентральное положение вдоль одной из кристаллографических осей $\langle 001 \rangle$ на расстояние $\sim 1.35 \text{ \AA}$. Такое большое смещение вызывает у авторов [2] сомнения относительно его ян-теллеровской природы. Одной из возможных причин нецентральности, считают они, яв-

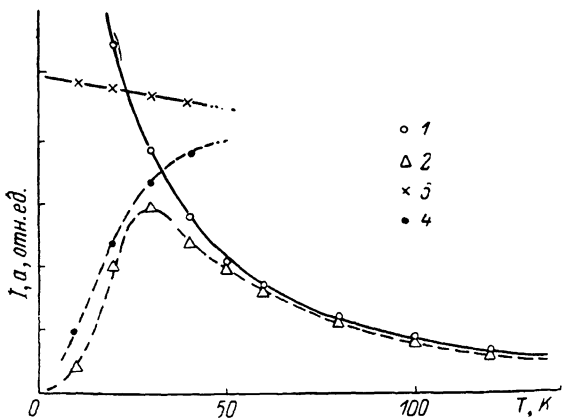


Рис. 1. Температурная зависимость амплитуды первой производной a (1, 2) и интегральной интенсивности I (3, 4) сигналов ЭПР-поглощения от центров А (1, 3) и Б (2, 4).

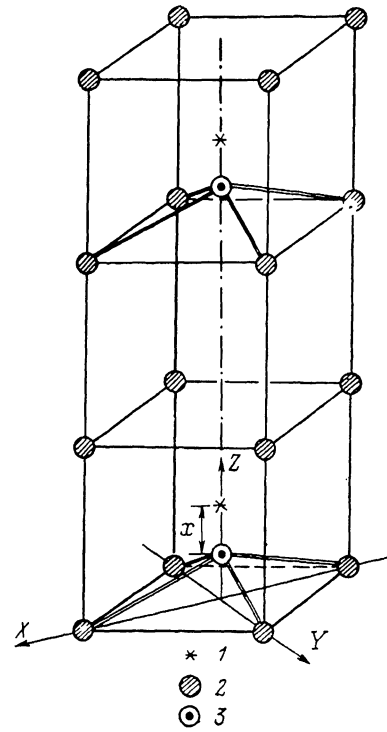


Рис. 2. Модель центра типа Б.
1 — позиция замещенного Ba^{2+} ,
2 — ион F^- , 3 — ион Cu^{2+} .

ляется малый ионный радиус Cu^{2+} по сравнению с радиусом Sr^{2+} . В связи с этим представляют интерес свойства примесного иона Cu^{2+} в кристалле BaF_2 , где радиус замещаемого Ba^{2+} также значительно превышает радиус иона меди.

Кристаллы для исследований выращены методом Бриджмена в атмосфере, состоящей из смеси гелия и фтора. В качестве примеси в шихту добавлялась химически чистая металлическая медь (в виде порошка). В выращенных кристаллах при температуре 77 К методом ЭПР обнаружены два типа парамагнитных центров (ПЦ) тетрагональной симметрии, концентрации которых в кристалле сравнимы друг с другом. Интегральная интенсивность спектров ЭПР центров первого типа (тип А) с понижением температуры практически не изменяется (при достаточно низкой мощности колебаний СВЧ в резонаторе спектрометра), в то время как для центров второго типа (тип Б) быстро убывает (рис. 1).

Спектры ЭПР типа А характерны для ПЦ со спином $S=1/2$ и описываются тензорами электронного зеемановского (ЭЗВ), сверхтонкого (СТВ), квадрупольного (КВ) взаимодействий тетрагональной симметрии и тензором суперсверхтонкого взаимодействия (ССТВ) орторомбической симметрии. В этих спектрах наблюдаются линии сверхтонкой структуры (СТС), соответствующие двум изотопам ^{63}Cu и ^{65}Cu с относительными интенсивностями, согласно их природной распространенности. Угловые зависимости наблюдаемых расщеплений в спектрах ЭПР центров А описываются спиновым гамильтонианом (СГ)

$$\mathcal{H} = \beta H g S + S a I^{\text{Cu}} + I^{\text{Cu}} Q I^{\text{Cu}} - g_N^{\text{Cu}} \beta H I^{\text{Cu}} + \sum_{i=1}^4 (S A_i I_i^F - g_N^i \beta H I_i^F), \quad (1)$$

где $S=1/2$, $I^{\text{Cu}}=3/2$, $I^F=1/2$; g , a , Q , A_i — соответственно тензоры ЭЗВ, СТВ, КВ, ССТВ (с i -м лигандом). В системе координат ($X \parallel [1\bar{1}0]$, $Y \parallel [1\bar{1}0]$, $Z \parallel [001]$) тензоры g , a , Q диагональны. Тензор A_i (i -й лиганд находится в плоскости YOZ) диагонализируется в локальной системе координат, у которой оси y' и z' составляют с осями Y и Z соответственно одинаковые углы γ ; ось x' параллельна оси X . Анализ полученных результатов (см. таблицу) приводит к модели ПЦ (А), в которой ион Cu^{2+} , замещая катион Ba^{2+} , смещается вдоль одной из кристаллографических осей $\langle 001 \rangle$. Опираясь на результаты расчетов по нецентральному Ag^{2+} в SrCl_2 [3], по известному углу γ можно оценить величину смещения x примесного иона из центрального положения, $x \approx 1.0 \div 1.2 \text{ \AA}$. Несоответствие между наблюданной симметрией ССТВ и симметрией позиций каждого из четырех эквивалентных лигандов (по предполагаемой модели эта симметрия — C_s) объясняется тем, что точность измерения параметров спектров ЭПР в данном случае не позволяет выявить тонкие эффекты низкой симметрии.

Абсолютные величины параметров спиновых гамильтонианов (1) и (2) ионов меди в кристалле BaF_2 ($T = 125 \text{ K}$, $f = 9.3 \text{ ГГц}$)

Тип центра	$g \parallel$	$g \perp$	МГц								$\gamma, \text{град}$
			a_z	a_\perp	$A_{x'}$	$A_{y'}$	$A_{z'}$	Q	D		
А	2.511 ± 0.001	2.092 ± 0.001	295 ± 5	~ 20	85 ± 5	92 ± 5	380 ± 4	~ 5	+	12 ± 2	
Б	2.490 ± 0.002	2.086 ± 0.002	145 ± 15	*	42 ± 8	45 ± 10	190 ± 8	*	1095 ± 25	~ 12	

* Параметр не определен.

Спектры типа Б характерны для ПЦ со спином $S=1$ и описываются СГ

$$\mathcal{H} = \beta H g S + D \left[S_z^2 - \frac{1}{3} S(S+1) \right] + \sum_{k=1}^2 S a_k I_k^{\text{Cu}} + \sum_{j=1}^8 S A_j I_j^F, \quad (2)$$

где $S=1$, $I^{\text{Cu}}=3/2$, $I^F=1/2$; g , a_k , A_j — соответственно тензоры ЭЗВ, СТВ и ССТВ. Ядерные зеемановские взаимодействия в спектрах ЭПР не проявляются, по этой причине соответствующие им члены в СГ (2) отсутствуют. В системе координат ($X \parallel [1\bar{1}0]$, $Y \parallel [1\bar{1}0]$, $Z \parallel [001]$) тензоры g и a диагональны. Тензор A_j (j -й лиганд расположен в плоскости YOZ) диагонализируется в локальной системе координат, у которой оси y' и z' составляют с осями Y и Z соответственно углы γ ; $x' \parallel X$. Как видно из таблицы, компоненты тензоров $a^{(B)}$ и $A^{(B)}$ приблизительно равны половине соответствующих компонент тензоров $a^{(A)}$ и $A^{(A)}$ и, поскольку в спектрах ЭПР центров Б также обнаруживаются линии, соответствующие обоим изотопам меди, есть основания приписать наблюдае-

мые спектры кластеризованным в пары центрами меди первого типа. Из температурной зависимости относительных интенсивностей линий спектров ЭПР следует, что константа изотропного обменного взаимодействия $J \approx 7.5 \text{ см}^{-1}$. Высокая концентрация центров Б, сравнимая с концентрацией центров А, может быть объяснена взаимодействием электрических дипольных моментов локально раскомпенсированных пространственных зарядов, входящих в пару центров А. Минимум энергии этого взаимодействия соответствует такой взаимной ориентации центров А, при которой оба примесных иона, составляющих пару, оказываются смещеными из позиций замещенных ими катионов решетки в одну и ту же сторону вдоль оси связи пары. Оценка расстояния между ионами меди (в предположении о магнитной диполь-дипольной природе константы анизотропного обменного взаимодействия D) дает величину $\sim 5 \text{ \AA}$, что несколько меньше постоянной решетки кристалла (6.20 \AA). Однако если в анизотропном обмене учесть и другие (кроме магнитного диполь-дипольного) вклады, то расчет межионного расстояния может дать величину, совпадающую с постоянной решетки. Анализ перечисленных фактов приводит к модели ПЦ (Б) (рис. 2).

Список литературы

- [1] Зарипов М. М., Уланов В. А. // ФТТ. 1988. Т. 30. № 5. С. 1547—1549.
- [2] Bill H. // Phys. Lett. A. 1973. V. 44. N 2. P. 101—103.
- [3] Bill H., Millert C., Lacroix R. // Proc. 17th Cong. AMPERE. North Holland Publ. Co., 1973. P. 323—325.

Казанский физико-технический
институт КФ АН СССР
Казань

Поступило в Редакцию
24 октября 1988 г.

УДК 538.935

Физика твердого тела, том 31, в. 10, 1989
Solid State Physics, vol. 31, N 10, 1989

СОЛИТОННАЯ ПРОВОДИМОСТЬ СЛУЧАЙНО-НЕОДНОРОДНЫХ ОДНОМЕРНЫХ СИСТЕМ

Б. А. Маломед

Нелинейная проводимость одномерных металлов объясняется действием соизмеримости и заряженных примесей на волну зарядовой плотности (ВЗП). Эволюция фазовой расстройки соизмеримой ВЗП описывается уравнением [1]

$$\Phi_{tt} + \alpha \Phi_t - \Phi_{xx} + \sin \Phi + f = \varepsilon_0 \sum_n \delta(x - x_n) \cos(\Phi/M + 2k_F x_n), \quad (1)$$

где M — индекс соизмеримости, $M\Phi$ — фазовая расстройка, α — диссипативная константа, f — электрическое поле, ε_0 — константа связи ВЗП с примесями, x_n — координаты примесей. В реальной системе среднее расстояние l между примесями мало по сравнению с размером солитона [1]. Поэтому естественно заменить уравнение (1) на

$$\Phi_{tt} + \alpha \Phi_t - \Phi_{xx} + \sin \Phi + f = \zeta_1(\mathbf{x}) \sin(\Phi/M) + \zeta_2(\mathbf{x}) \cos(\Phi/M), \quad (2)$$

где $\zeta_{1,2}(x)$ — гауссовые случайные функции, определенные корреляторами

$$\langle \zeta_{1,2}(x) \rangle = \langle \zeta_1(x) \zeta_2(x') \rangle = 0, \quad \langle \zeta_1(x) \zeta_1(x') \rangle = \langle \zeta_2(x) \zeta_2(x') \rangle = \\ = \varepsilon^2 \delta(x - x'), \quad \varepsilon^2 \equiv \varepsilon_0^2/2l. \quad (3)$$